

УДК 539.3;517.9

**Продольные волны в нелинейной цилиндрической оболочке,
содержащей вязкую жидкость**

Иванов С.В.^{1*}, Могилевич Л.И.^{2}, Попов В.С.^{2***}**

¹*Саратовский национальный исследовательский государственный университет им.
Н.Г. Чернышевского, ул. Астраханская, 83, Саратов, 410012, Россия*

²*Саратовский государственный технический университет имени Гагарина Ю.А.,
ул. Политехническая, 77, Саратов, 410054, Россия*

**e-mail: evilgraywolf@gmail.com*

***e-mail: mogilevich@sgu.ru*

****e-mail: vic_p@bk.ru*

Статья поступила 01.03.2019

Аннотация

В настоящей работе развивается метод возмущений для исследования волн деформаций в физически нелинейной упругой цилиндрической оболочке с конструкционным демпфированием в продольном направлении, содержащей вязкую несжимаемую жидкость и окруженной упругой средой Винклера. Метод двухмасштабных разложений приводит к обобщенному модифицированному уравнению Кортевега–де Вриза, не имеющему точного решения. Влияние упругой окружающей среды, конструкционного демпфирования, наличие внутри оболочки вязкой жидкости, оценено путем реализации численного решения этого уравнения.

Ключевые слова: нелинейные волны, упругие цилиндрические оболочки, вязкая несжимаемая жидкость.

Введение

Тонкостенные оболочки, в том числе содержащие жидкость, широко используются в космической и авиационной технике, поэтому исследования динамических процессов в них имеют не только теоретический, но и практический интерес для авиакосмической промышленности. Ряд явлений в механических системах, несмотря на малые значения зависимых переменных, целиком определяются зависимостью скорости распространения возмущений от величины зависимых переменных и исследуется на базе нелинейных уравнений. В современной механике деформируемого твердого тела, а также при изучении динамики и прочности упругих элементов конструкций, эти исследования проводятся с помощью методов возмущений. Волновые процессы в упругих, вязкоупругих и нелинейных вязкоупругих оболочках, не взаимодействующих с вязкой жидкостью, рассмотрены в [1-4]. При взаимодействии оболочки с вязкой жидкостью, но без учета волновых явлений рассмотрены в [5-7].

Вместе с тем, в литературе отсутствуют исследования влияния на волновой процесс в упругих оболочках вязкой несжимаемой жидкости, находящейся внутри них с учетом локальных членов инерции.

Задачи гидроупругости делятся на стационарные и нестационарные [8]. В данной работе рассматриваются нестационарные задачи, которые, в свою очередь,

распадаются на задачи колебаний и волновые задачи. По методам решения они делятся на связанные и несвязанные. В несвязанных задачах сначала решаются уравнения динамики жидкости, а затем волновое движение упругого тела, при этом приоритет отдается определению параметров жидкости – скорости и давления. Такой подход применяется при исследовании механики живых организмов, то есть биомеханики.

В другом подходе рассматривается движение жидкости, взаимодействующей с твердым телом. Определяют напряжение, действующее со стороны жидкости на твердое тело, трение и давление. Это значит, что предполагается отсутствие влияния деформации оболочки на поток жидкости [9, 10]. Затем они подставляются в уравнения динамики тела как упругого и находятся перемещения, продольные и нормальные, т.е. прогиб. Это позволяет определить напряженно деформированное состояние упругой конструкции, что является приоритетом в несвязанной задаче. Этот подход применим, например, при определении прочности крыльев и фюзеляжа самолета.

Для связанной задачи уравнения динамики упругого тела и жидкости решаются одновременно, с учетом соответствующих граничных условий на непроницаемых поверхностях. Этот подход применен, например, для исследования гидроупругих колебаний [11-13], а также в настоящем исследовании нелинейных волн деформации упругих оболочек, содержащих вязкую несжимаемую жидкость с учетом инерции ее движения.

В настоящей работе исследуется учет влияния вязкой несжимаемой жидкости, находящей внутри упругой оболочки, на распространение нелинейных волн деформации, что требует компьютерного моделирования. Известные методы качественного анализа математических моделей, не позволяют в полной мере исследовать модели волн деформаций в случае заполнения оболочки вязкой несжимаемой жидкостью [14]. Гораздо более универсальным способом исследования моделей является переход к дискретным аналогам исходных моделей.

Для численного исследования модели волновых движений физически нелинейной упругой оболочки с конструкционным демпфированием (рассеянием энергии), взаимодействующей с окружающей ее упругой средой и жидкостью, используется разностная схема аналогичная схеме Кранка-Николсона для уравнения теплопроводности [15].

В работе исследуется влияние конструкционного демпфирования материала оболочки в продольном направлении, окружающей упругой среды и вязкой несжимаемой жидкости внутри оболочки на амплитуду и скорость волны. Полученные результаты могут быть использованы для дальнейшего развития неразрушающих методов диагностики состояния тонкостенных элементов конструкций авиакосмической техники.

Постановка задачи и ее решение

В современной волновой динамике одним из важных направлений является изучение поведения волн деформаций в упругих оболочках.

Напряжения со стороны слоя жидкости определяются формулами [16]

$$q_n = P_{rr} \cos\left(\hat{\bar{n}}, \hat{\bar{n}}_r\right) + P_{rx} \cos\left(\hat{\bar{n}}, \hat{\bar{i}}\right), \quad q_x = -\left[P_{rx} \cos\left(\hat{\bar{n}}, \hat{\bar{n}}_r\right) + P_{xx} \cos\left(\hat{\bar{n}}, \hat{\bar{i}}\right) \right],$$

$$P_{rr} = -p + 2\rho\nu \frac{\partial V_r}{\partial r}, \quad P_{rx} = -\rho\nu \left(\frac{\partial V_x}{\partial r} + \frac{\partial V_r}{\partial x} \right), \quad P_{xx} = -p + 2\rho\nu \frac{\partial V_x}{\partial x},$$

здесь q_x , q_n - напряжения со стороны жидкости, находящейся внутри кругового сечения; r , x - цилиндрические координаты; V_r , V_x - проекции вектора скорости на оси цилиндрической системы координат; W - прогиб оболочки, положительный к центру кривизны; p - давление в жидкости; ρ - плотность жидкости; ν - кинематический коэффициент вязкости; \bar{n} - нормаль к срединной поверхности оболочки; \bar{n}_r , \bar{i} - орты базиса (r, Θ, x) цилиндрической системы координат, центр которой расположен на геометрической оси. Если снести напряжения на невозмущенную поверхность оболочки, то можно считать $\bar{n} = \bar{n}_r$ и $\cos\left(\hat{\bar{n}}, \hat{\bar{n}}_r\right) = 1$, $\cos\left(\hat{\bar{n}}, \hat{\bar{i}}\right) = 0$.

Уравнение движения вязкой несжимаемой жидкости и уравнение неразрывности в цилиндрической системе координат (r, Θ, x) в случае осесимметричного течения записываются в виде [16]

$$\frac{\partial V_r}{\partial t} + V_r \frac{\partial V_r}{\partial r} + V_x \frac{\partial V_r}{\partial x} + \frac{1}{\rho} \frac{\partial p}{\partial r} = \nu \left(\frac{\partial^2 V_r}{\partial r^2} + \frac{1}{r} \frac{\partial V_r}{\partial r} + \frac{\partial^2 V_r}{\partial x^2} - \frac{V_r}{r^2} \right), \quad (1)$$

$$\frac{\partial V_x}{\partial t} + V_r \frac{\partial V_x}{\partial r} + V_x \frac{\partial V_x}{\partial x} + \frac{1}{\rho} \frac{\partial p}{\partial x} = \nu \left(\frac{\partial^2 V_x}{\partial r^2} + \frac{1}{r} \frac{\partial V_x}{\partial r} + \frac{\partial^2 V_x}{\partial x^2} \right),$$

$$\frac{\partial V_r}{\partial t} + \frac{V_r}{r} + \frac{\partial V_x}{\partial x} = 0.$$

На границе с оболочкой выполняются условия прилипания жидкости в подходе Лагранжа.

$$\frac{\partial U}{\partial t} = V_x + U \frac{\partial V_x}{\partial x} - W \frac{\partial V_x}{\partial r}, \quad -\frac{\partial W}{\partial t} = V_r + U \frac{\partial V_r}{\partial x} - W \frac{\partial V_r}{\partial r}. \quad (2)$$

Деформационная теория пластичности А. А. Ильюшина [17,18] связывает компоненты тензора напряжений σ_x , σ_Θ с компонентами тензора деформаций ε_x , ε_Θ и квадратом интенсивности деформаций ε_u [19,20].

$$\sigma_x = \frac{E}{1-\mu_0^2} (\varepsilon_x + \mu_0 \varepsilon_\Theta) \left(1 + \frac{m}{E} \varepsilon_u^2 \right), \quad \sigma_\Theta = \frac{E}{1-\mu_0^2} (\varepsilon_\Theta + \mu_0 \varepsilon_x) \left(1 + \frac{m}{E} \varepsilon_u^2 \right), \quad (3)$$

$$\varepsilon_u^2 = \frac{4}{3} (\varepsilon_x^2 + \varepsilon_\Theta^2 - \varepsilon_x \varepsilon_\Theta).$$

Здесь E – модуль Юнга; m – константа материала, определяемая из опытов на растяжение или сжатие; μ_0 – коэффициент Пуассона материала оболочки.

Рассматривается осесимметричный случай цилиндрической оболочки толщиной h_0 и упругими перемещениями – продольным U и прогибом W , направленным к центру кривизны. Связь компонент деформаций с упругими перемещениями записывается в виде [21]

$$\varepsilon_x = \frac{\partial U}{\partial x} + \frac{1}{2} \left(\frac{\partial W}{\partial x} \right)^2 - z \frac{\partial^2 W}{\partial x^2}, \quad \varepsilon_\Theta = -\frac{W}{R}. \quad (4)$$

Здесь x – продольная координата вдоль срединной поверхности; z – нормальная координата в оболочке $\left(-\frac{h_0}{2} \leq z \leq \frac{h_0}{2}\right)$. Квадрат интенсивности деформаций

записывается в виде

$$\varepsilon_u^2 = \frac{4}{3} \left\{ \left[\frac{\partial U}{\partial x} + \frac{1}{2} \left(\frac{\partial W}{\partial x} \right)^2 - z \frac{\partial^2 W}{\partial x^2} \right]^2 + \frac{W^2}{R^2} + \frac{W}{R} \left[\frac{\partial U}{\partial x} + \frac{1}{2} \left(\frac{\partial W}{\partial x} \right)^2 - z \frac{\partial^2 W}{\partial x^2} \right] \right\}. \quad (5)$$

Представим (5) в виде многочлена по степеням z , получим

$$\begin{aligned} \varepsilon_u^2 = \frac{4}{3} & \left\{ \left[\frac{\partial U}{\partial x} + \frac{1}{2} \left(\frac{\partial W}{\partial x} \right)^2 \right]^2 + \left(\frac{W}{R} \right)^2 + \frac{\partial W}{\partial R} \left[\frac{\partial U}{\partial x} + \frac{1}{2} \left(\frac{\partial W}{\partial x} \right)^2 \right] - \right. \\ & \left. - z \left[2 \left(\frac{\partial U}{\partial x} + \frac{1}{2} \left(\frac{\partial W}{\partial x} \right)^2 \right) + \frac{W}{R} \right] \frac{\partial^2 W}{\partial x^2} + z^2 \left(\frac{\partial^2 W}{\partial x^2} \right)^2 \right\}. \end{aligned} \quad (6)$$

Усилия в срединной поверхности оболочки и момент определим по формулам

$$N_x = \int_{-\frac{h_0}{2}}^{\frac{h_0}{2}} \sigma_x dz, \quad N_\Theta = \int_{-\frac{h_0}{2}}^{\frac{h_0}{2}} \sigma_\Theta dz, \quad M_x = \int_{-\frac{h_0}{2}}^{\frac{h_0}{2}} \sigma_x z dz. \quad (7)$$

При этом, учитывая (3), (4), (6), получим

$$\begin{aligned} \int_{-\frac{h_0}{2}}^{\frac{h_0}{2}} \left[1 + \frac{m}{E} \varepsilon_u^2 \right] dz = h_0 & \left\langle 1 + \frac{4m}{3E} \left\{ \left[\frac{\partial U}{\partial x} + \frac{1}{2} \left(\frac{\partial W}{\partial x} \right)^2 \right]^2 + \left(\frac{W}{R} \right)^2 + \frac{W}{R} \left[\frac{\partial U}{\partial x} + \frac{1}{2} \left(\frac{\partial W}{\partial x} \right)^2 \right] + \right. \right. \\ & \left. \left. + \frac{h_0^2}{12} \left(\frac{\partial^2 W}{\partial x^2} \right)^2 \right\} \right\rangle, \end{aligned}$$

$$\int_{\frac{h_0}{2}}^{\frac{h_0}{2}} z \left[1 + \frac{m}{E} \varepsilon_u^2 \right] dz = \frac{4m}{3E} \left\{ -\frac{h_0^3}{12} \left(2 \left(\frac{\partial U}{\partial x} + \frac{1}{2} \left(\frac{\partial W}{\partial x} \right)^2 \right) + \frac{W}{R} \right) \frac{\partial^2 W}{\partial x^2} \right\}, \quad (8)$$

$$\int_{\frac{h_0}{2}}^{\frac{h_0}{2}} z^2 \left[1 + \frac{m}{E} \varepsilon_u^2 \right] dz = \frac{h_0^3}{12} \left\langle 1 + \frac{4m}{3E} \left\{ \left[\frac{\partial U}{\partial x} + \frac{1}{2} \left(\frac{\partial W}{\partial x} \right)^2 \right]^2 + \left(\frac{W}{R} \right)^2 + \right. \right. \\ \left. \left. + \frac{W}{R} \left[\frac{\partial U}{\partial x} + \frac{1}{2} \left(\frac{\partial W}{\partial x} \right)^2 \right] + 3 \frac{h_0^2}{20} \left(\frac{\partial^2 W}{\partial x^2} \right)^2 \right\} \right\rangle.$$

Подставляя (8) в (7) находим

$$N_x = \frac{Eh_0}{1-\mu_0^2} \left\langle \frac{\partial U}{\partial x} + \frac{1}{2} \left(\frac{\partial W}{\partial x} \right)^2 - \mu_0 \frac{W}{R} + \frac{4m}{3E} \left\{ \left[\frac{\partial U}{\partial x} + \frac{1}{2} \left(\frac{\partial W}{\partial x} \right)^2 \right]^3 + \right. \right. \quad (9) \\ \left. \left. + (1-\mu_0) \left[\frac{\partial U}{\partial x} + \frac{1}{2} \left(\frac{\partial W}{\partial x} \right)^2 \right]^2 \frac{W}{R} + (1-\mu_0) \left[\frac{\partial U}{\partial x} + \frac{1}{2} \left(\frac{\partial W}{\partial x} \right)^2 \right] \left(\frac{W}{R} \right)^2 - \mu_0 \left(\frac{W}{R} \right)^3 + \right. \right. \\ \left. \left. + \frac{h_0^2}{12} \left(\frac{\partial^2 W}{\partial x^2} \right)^2 \left[3 \left(\frac{\partial U}{\partial x} + \frac{1}{2} \left(\frac{\partial W}{\partial x} \right)^2 \right) + (1-\mu_0) \frac{W}{R} \right] \right\} \right\rangle, \\ N_\Theta = \frac{Eh_0}{1-\mu_0^2} \left\langle \mu_0 \left[\frac{\partial U}{\partial x} + \frac{1}{2} \left(\frac{\partial W}{\partial x} \right)^2 \right] - \frac{W}{R} + \right. \\ \left. + \frac{4m}{3E} \left\{ \left[\mu_0 \left(\frac{\partial U}{\partial x} + \frac{1}{2} \left(\frac{\partial W}{\partial x} \right)^2 \right) - \frac{W}{R} \right] \left[\left(\frac{\partial U}{\partial x} + \frac{1}{2} \left(\frac{\partial W}{\partial x} \right)^2 \right)^2 + \right. \right. \\ \left. \left. + \left(\frac{W}{R} \right)^2 + \left(\frac{\partial U}{\partial x} + \frac{1}{2} \left(\frac{\partial W}{\partial x} \right)^2 \right) \frac{W}{R} \right] + \frac{h_0^2}{12} \left(\frac{\partial^2 W}{\partial x^2} \right)^2 \left[3\mu_0 \left(\frac{\partial U}{\partial x} + \frac{1}{2} \left(\frac{\partial W}{\partial x} \right)^2 \right) - (1-\mu_0) \frac{W}{R} \right] \right\} \right\rangle,$$

$$M_x = -\frac{Eh_0^3}{12(1-\mu_0^2)} \frac{\partial^2 W}{\partial x^2} \left\langle 1 + \frac{4m}{3E} \left\{ \left[3 \left[\frac{\partial U}{\partial x} + \frac{1}{2} \left(\frac{\partial W}{\partial x} \right)^2 \right]^2 \right] + \right. \right. \\ \left. \left. + 2(1-\mu_0^2) \left[\frac{\partial U}{\partial x} + \frac{1}{2} \left(\frac{\partial W}{\partial x} \right)^2 \right] \frac{W}{R} + (1-\mu_0) \left(\frac{W}{R} \right)^2 + 3 \frac{h_0^2}{20} \left(\frac{\partial^2 W}{\partial x^2} \right)^2 \right\} \right\rangle.$$

Уравнения динамики для оболочек с конструкционным демпфированием в продольном направлении и окруженной упругой средой Винклера такие же, как и в физически линейной теории

$$\frac{\partial N_x}{\partial x} = \rho_0 h_0 \frac{\partial^2 U}{\partial t^2} + \varepsilon_1 \frac{1}{l} \rho_0 h_0 \sqrt{\frac{E}{\rho_0(1-\mu_0^2)}} \frac{\partial U}{\partial t} - \left[q_x - W \frac{\partial q_x}{\partial r} + U \frac{\partial q_x}{\partial x} \right]_R, \\ \frac{\partial^2 M_x}{\partial x^2} + \frac{\partial}{\partial x} \left(\frac{\partial W}{\partial x} N_x \right) + \frac{1}{R} N_\Theta = \rho_0 h_0 \frac{\partial^2 W}{\partial t^2} + \\ + k_1 \frac{h_0}{R_3} \rho_0 h_0 \frac{E}{\rho_0(1-\mu_0^2)} W - \left[q_n - W \frac{\partial q_n}{\partial r} + U \frac{\partial q_n}{\partial x} \right]_R. \quad (10)$$

Здесь t – время, ρ_0 – плотность материала оболочки, ε_1 – коэффициент демпфирования, k_1 – коэффициент постели окружающей среды. Подставляя (9) в (10) находим уравнения динамики в перемещениях

$$\frac{Eh_0}{1-\mu_0^2} \frac{\partial}{\partial x} \left\langle \frac{\partial U}{\partial x} + \frac{1}{2} \left(\frac{\partial W}{\partial x} \right)^2 - \mu_0 \frac{W}{R} + \frac{4m}{3E} \left\{ \left[\frac{\partial U}{\partial x} + \frac{1}{2} \left(\frac{\partial W}{\partial x} \right)^2 \right]^3 + (1-\mu_0) \left[\frac{\partial U}{\partial x} + \right. \right. \right. \\ \left. \left. + \frac{1}{2} \left(\frac{\partial W}{\partial x} \right)^2 \right]^2 \frac{W}{R} + (1-\mu_0) \left[\frac{\partial U}{\partial x} + \frac{1}{2} \left(\frac{\partial W}{\partial x} \right)^2 \right] \left(\frac{W}{R} \right)^2 - \mu_0 \left(\frac{W}{R} \right)^3 + \right. \\ \left. \left. + \frac{h_0^2}{12} \left(\frac{\partial^2 W}{\partial x^2} \right)^2 \left[3 \left(\frac{\partial U}{\partial x} + \frac{1}{2} \left(\frac{\partial W}{\partial x} \right)^2 \right) + (1-\mu_0) \frac{W}{R} \right] \right\} \right\rangle =$$

$$\begin{aligned}
&= \rho_0 h_0 \frac{\partial^2 U}{\partial t^2} + \varepsilon_1 \frac{1}{l} \rho_0 h_0 \sqrt{\frac{E}{\rho_0(1-\mu_0^2)}} \frac{\partial U}{\partial t} - \left[q_x - W \frac{\partial q_x}{\partial r} + U \frac{\partial q_x}{\partial x} \right]_R, \\
&\quad - \frac{E h_0^3}{12(1-\mu_0^2)} \frac{\partial^2}{\partial x^2} \left\langle \frac{\partial^2 W}{\partial x^2} \left[1 + \frac{4m}{3E} \left[3 \left(\frac{\partial U}{\partial x} + \frac{1}{2} \left(\frac{\partial W}{\partial x} \right)^2 \right)^2 \right] + \right. \right. \\
&\quad \left. \left. + 2(1-\mu_0) \left(\frac{\partial U}{\partial x} + \frac{1}{2} \left(\frac{\partial W}{\partial x} \right)^2 \right) \frac{W}{R} + (1-\mu_0) \left(\frac{W}{R} \right)^2 + 3 \frac{h_0^2}{20} \left(\frac{\partial^2 W}{\partial x^2} \right)^2 \right] \right\rangle + \\
&\quad + \frac{E h_0}{1-\mu_0^2} \frac{\partial}{\partial x} \left\langle \frac{\partial W}{\partial x} \left[\frac{\partial U}{\partial x} + \frac{1}{2} \left(\frac{\partial W}{\partial x} \right)^2 - \mu_0 \frac{W}{R} - \frac{4m}{3E} \left[\frac{\partial U}{\partial x} + \frac{1}{2} \left(\frac{\partial W}{\partial x} \right)^2 \right]^3 + \right. \right. \\
&\quad \left. \left. + (1-\mu_0) \left[\frac{\partial U}{\partial x} + \frac{1}{2} \left(\frac{\partial W}{\partial x} \right)^2 \right]^2 \frac{W}{R} + (1-\mu_0) \left[\frac{\partial U}{\partial x} + \frac{1}{2} \left(\frac{\partial W}{\partial x} \right)^2 \right] \left(\frac{W}{R} \right)^2 - \right. \right. \\
&\quad \left. \left. - \mu_0 \left(\frac{W}{R} \right)^3 + \frac{h_0^2}{12} \left(\frac{\partial^2 W}{\partial x^2} \right)^2 \left[3 \left(\frac{\partial U}{\partial x} + \frac{1}{2} \left(\frac{\partial W}{\partial x} \right)^2 \right) + (1-\mu_0) \frac{W}{R} \right] \right] \right\rangle + \\
&\quad + \frac{E h_0}{1-\mu_0^2} \frac{1}{R} \left\langle \mu_0 \left[\frac{\partial U}{\partial x} + \frac{1}{2} \left(\frac{\partial W}{\partial x} \right)^2 \right] - \frac{W}{R} + \frac{4m}{3E} \left\{ \left[\mu_0 \left(\frac{\partial U}{\partial x} + \frac{1}{2} \left(\frac{\partial W}{\partial x} \right)^2 \right) - \right. \right. \right. \\
&\quad \left. \left. - \frac{W}{R} \right] \left[\left(\frac{\partial U}{\partial x} + \frac{1}{2} \left(\frac{\partial W}{\partial x} \right)^2 \right)^2 + \left(\frac{W}{R} \right)^2 + \left(\frac{\partial U}{\partial x} + \frac{1}{2} \left(\frac{\partial W}{\partial x} \right)^2 \right) \frac{W}{R} \right] + \right. \\
&\quad \left. \left. + \frac{h_0^2}{12} \left(\frac{\partial^2 W}{\partial x^2} \right)^2 \left[3 \mu_0 \left(\frac{\partial U}{\partial x} + \frac{1}{2} \left(\frac{\partial W}{\partial x} \right)^2 \right) - (1-\mu_0) \frac{W}{R} \right] \right\} \right\rangle = \rho_0 h_0 \frac{\partial^2 W}{\partial t^2} + \\
&\quad + k_1 \frac{h_0}{R^3} \rho_0 h_0 \frac{E}{\rho_0(1-\mu_0^2)} W - \left[q_n - W \frac{\partial q_n}{\partial r} + U \frac{\partial q_n}{\partial x} \right]_R.
\end{aligned}$$

Асимптотические оценки, проводимые в безразмерных переменных, характеризуют рассматриваемые задачи. Для волновых задач оболочку считаем бесконечной. Для продольных волн в оболочке вводятся безразмерные переменные и параметры. Принимаем за характерную длину l – длину волны, а u_m, w_m – характерные значения упругих перемещений

$$W = w_m u_3, U = u_m u_1, x^* = \frac{x}{l}, t^* = \frac{c_0}{l} t, r^* = \frac{r}{R}, \quad (12)$$

где $c_0 = \sqrt{\frac{E}{\rho(1-\mu_0)}}$ – скорость распространения продольных упругих волн в оболочке.

Положим

$$\frac{h_0}{R} = \varepsilon \ll 1, \frac{R^2}{l^2} = O(\varepsilon), \quad (13)$$

$$\frac{w_m}{h_0} = O(1), \frac{u_m}{l} \frac{R}{h_0} = O(1), \frac{m\varepsilon}{E} = O(1), \frac{h_0^2}{l^2} = \frac{h_0^2}{R^2}, \frac{R^2}{l^2} = \varepsilon^3,$$

где ε – малый параметр задачи. В переменных (12), (13) уравнения (11) принимают вид

$$\begin{aligned} c_0^2 \rho_0 h_0 \frac{1}{l} \frac{\partial}{\partial x^*} & \left\langle \frac{u_m}{l} \frac{\partial u_1}{\partial x^*} + \frac{1}{2} \frac{R^2}{l^2} \left(\frac{w_m}{R} \right)^2 \left(\frac{\partial u_3}{\partial x^*} \right)^2 - \mu_0 \frac{w_m}{R} u_3 + \frac{4m}{3E} \left[\frac{u_m}{l} \frac{\partial u_1}{\partial x^*} + \right. \right. \\ & \left. \left. + \frac{1}{2} \frac{R^2}{l^2} \left(\frac{w_m}{R} \right)^2 \left(\frac{\partial u_3}{\partial x^*} \right)^2 \right]^3 + (1 - \mu_0) \left[\frac{u_m}{l} \frac{\partial u_1}{\partial x^*} + \right. \right. \\ & \left. \left. + \frac{1}{2} \frac{R^2}{l^2} \left(\frac{w_m}{R} \right)^2 \left(\frac{\partial u_3}{\partial x^*} \right)^2 \right] \frac{w_m}{R} u_3 \left[\left(\frac{u_m}{l} \frac{\partial u_1}{\partial x^*} + \frac{1}{2} \frac{R^2}{l^2} \left(\frac{w_m}{R} \right)^2 \left(\frac{\partial u_3}{\partial x^*} \right)^2 \right) + \frac{w_m}{R} u_3 \right] - \right. \end{aligned} \quad (14)$$

$$\begin{aligned}
& -\mu_0 \left(\frac{w_m}{R} \right)^3 u_3^3 + \frac{h_0^2 R^2 w_m^2}{12 l^4 R^2} \left(\frac{\partial^2 u_3}{\partial x^{*2}} \right)^2 \left[3 \left(\frac{u_m}{l} \frac{\partial u_1}{\partial x^*} + \right. \right. \\
& \left. \left. + \frac{1}{2} \frac{R^2}{l^2} \left(\frac{w_m}{R} \right)^2 \left(\frac{\partial u_3}{\partial x^*} \right)^2 \right) + (1 - \mu_0) \frac{w_m}{R} u_3 \right] \left. \right\} = \frac{c_0^2 \rho_0 h_0}{l^2} u_m \frac{\partial^2 u_1}{\partial t^{*2}} + \\
& + \varepsilon_1 \frac{c_0^2 \rho_0 h_0}{l^2} \frac{\partial u_1}{\partial t^*} - \left[q_x - \frac{w_m}{R} u_3 \frac{\partial q_x}{\partial r^*} + \frac{u_m}{l} u_1 \frac{\partial q_x}{\partial x^*} \right], \\
& - c_0^2 \rho_0 \frac{h_0 h_0^2}{l} \frac{1}{12 l^2} \frac{\partial^2}{\partial x^{*2}} \left\langle \frac{R w_m}{l R} \frac{\partial^2 u_3}{\partial x^{*2}} \left[1 + \frac{4 m}{3 E} \left[3 \left(\frac{u_m}{l} \frac{\partial u_1}{\partial x^*} + \frac{1}{2} \frac{R^2}{l^2} \left(\frac{w_m}{R} \right)^2 \left(\frac{\partial u_3}{\partial x^*} \right)^2 \right)^2 + \right. \right. \right. \right. \\
& \left. \left. + 2(1 - \mu_0) \left(\frac{u_m}{l} \frac{\partial u_1}{\partial x^*} + \frac{1}{2} \frac{R^2}{l^2} \left(\frac{w_m}{R} \right)^2 \left(\frac{\partial u_3}{\partial x^*} \right)^2 \right) \frac{w_m}{R} u_3 + (1 - \mu_0) \left(\frac{w_m}{R} \right)^2 + \right. \right. \\
& \left. \left. \left. + 3 \frac{h_0^2 R^4}{20 l^4} \left(\frac{w_m}{R^2} \right) \left(\frac{\partial^2 u_3}{\partial x^{*2}} \right)^2 \right] \right] \right\rangle + c_0^2 \rho_0 h_0 \frac{1}{l} \frac{\partial}{\partial x^*} \left\langle \frac{R w_m}{l R} \frac{\partial u_3}{\partial x^*} \left[\frac{u_m}{l} \frac{\partial u_1}{\partial x^*} + \right. \right. \\
& \left. \left. + \frac{1}{2} \frac{R^2}{l^2} \left(\frac{w_m}{R} \right)^2 \left(\frac{\partial u_3}{\partial x^*} \right)^2 - \mu_0 \frac{w_m}{R} u_3 - \frac{4 m}{3 E} \left[\frac{u_m}{l} \frac{\partial u_1}{\partial x^*} + \frac{1}{2} \frac{R^2}{l^2} \left(\frac{w_m}{R} \right)^2 \left(\frac{\partial u_3}{\partial x^*} \right)^2 \right]^3 + \right. \right. \\
& \left. \left. + (1 - \mu_0) \left[\frac{u_m}{l} \frac{\partial u_1}{\partial x^*} + \frac{1}{2} \frac{R^2}{l^2} \left(\frac{w_m}{R} \right)^2 \left(\frac{\partial u_3}{\partial x^*} \right)^2 \right] \frac{w_m}{R} u_3 \left[\frac{u_m}{l} \frac{\partial u_1}{\partial x^*} + \frac{1}{2} \frac{R^2}{l^2} \left(\frac{w_m}{R} \right)^2 \left(\frac{\partial u_3}{\partial x^*} \right)^2 + \right. \right. \\
& \left. \left. + \frac{w_m}{R} u_3 \right] - \mu_0 \frac{w_m}{R} u_3 + \frac{h_0^2 R^2}{12 l^4} \left(\frac{w_m}{R} \right)^2 \left(\frac{\partial^2 u_3}{\partial x^{*2}} \right)^2 \left[3 \left(\frac{u_m}{l} \frac{\partial u_1}{\partial x^*} + \frac{1}{2} \frac{R^2}{l^2} \left(\frac{w_m}{R} \right)^2 \left(\frac{\partial u_3}{\partial x^*} \right)^2 \right) + \right. \right. \\
& \left. \left. + (1 - \mu_0) \frac{w_m}{R} u_3 \right] \right] \left. \right\rangle + c_0^2 \rho_0 h_0 \frac{1}{R} \left\langle \mu_0 \left(\frac{u_m}{l} \frac{\partial u_1}{\partial x^*} + \frac{1}{2} \frac{R^2}{l^2} \left(\frac{w_m}{R} \right)^2 \left(\frac{\partial u_3}{\partial x^*} \right)^2 \right) - \frac{w_m}{R} u_3 - \right.
\end{aligned}$$

$$\begin{aligned}
& -\frac{4m}{3E} \left\{ \left[\mu_0 \left(\frac{u_m}{l} \frac{\partial u_1}{\partial x^*} + \frac{1}{2} \frac{R^2}{l^2} \left(\frac{w_m}{R} \right)^2 \left(\frac{\partial u_3}{\partial x^*} \right)^2 \right) - \frac{w_m}{R} u_3 \right] \left[\left(\frac{u_m}{l} \frac{\partial u_1}{\partial x^*} + \right. \right. \right. \\
& \left. \left. \left. + \frac{1}{2} \frac{R^2}{l^2} \left(\frac{w_m}{R} \right)^2 \left(\frac{\partial u_3}{\partial x^*} \right)^2 \right)^2 + \left(\frac{w_m}{R} \right)^2 u_3^2 + \left(\frac{u_m}{l} \frac{\partial u_1}{\partial x^*} + \frac{1}{2} \frac{R^2}{l^2} \left(\frac{w_m}{R} \right)^2 \left(\frac{\partial u_3}{\partial x^*} \right)^2 \right) \frac{w_m}{R} u_3 \right] + \right. \\
& \left. + \frac{h_0^2 R^2 w_m^2}{12 l^4 R^2} \left(\frac{\partial^2 u_3}{\partial x^{*2}} \right)^2 \left[3 \mu_0 \left(\frac{u_m}{l} \frac{\partial u_1}{\partial x^*} + \frac{1}{2} \frac{R^2}{l^2} \left(\frac{w_m}{R} \right)^2 \left(\frac{\partial u_3}{\partial x^*} \right)^2 \right) - (1 - \mu_0) \frac{w_m}{R} u_3 \right] \right\} = \\
& = \rho_0 h_0 \frac{c_0^2}{l^2} w_m \frac{\partial^2 u_3}{\partial t^{*2}} + k_1 \rho_0 h_0 \frac{c_0^2}{R^2} w_m u_3 - \left[q_n - \frac{w_m}{R} u_3 \frac{\partial q_n}{\partial r^*} + \frac{u_m}{l} u_1 \frac{\partial q_n}{\partial x^*} \right].
\end{aligned}$$

Введем независимые переменные в виде

$$\xi = x^* - ct^*, \quad \tau = \varepsilon t^* \quad (15)$$

где c – безразмерная неизвестная скорость волны; τ – быстрое время. В этих переменных, оставляя в уравнениях (14) члены порядка ε и ε^2 и отбрасывая члены с более высокими степенями, получим уравнения

$$\begin{aligned}
& \frac{\partial}{\partial \xi} \left\{ \frac{u_m}{l} \frac{\partial u_1}{\partial \xi} - \mu_0 \frac{w_m}{R} u_3 + \frac{4m}{3E} \left[\left(\frac{u_m}{l} \frac{\partial u_1}{\partial \xi} \right)^3 + (1 - \mu_0) \frac{u_m}{l} \frac{\partial u_1}{\partial \xi} \frac{w_m}{R} u_3 \left(\frac{u_m}{l} \frac{\partial u_1}{\partial \xi} + \frac{w_m}{R} u_3 \right) - \right. \right. \\
& \left. \left. - \mu_0 \left(\frac{w_m}{R} \right)^3 u_3^3 \right] \right\} = \frac{u_m}{l} \left[c^2 \frac{\partial^2 u_1}{\partial \xi^2} - 2\varepsilon c \frac{\partial^2 u_1}{\partial \xi \partial \tau} \right] - \frac{u_m}{l} \varepsilon_1 c \frac{\partial u_1}{\partial \xi} - \frac{l^2}{\varepsilon u_m \rho_0 h_0 c_0^2} q_x, \\
& \mu_0 \frac{u_m}{l} \frac{\partial u_1}{\partial \xi} - \frac{w_m}{R} u_3 + \frac{4m}{3E} \left(\mu_0 \frac{u_m}{l} \frac{\partial u_1}{\partial \xi} - \frac{w_m}{R} u_3 \right) \left[\left(\frac{u_m}{l} \frac{\partial u_1}{\partial \xi} \right)^2 + \left(\frac{w_m}{R} \right)^2 u_3^2 + \right. \\
& \left. + \frac{u_m}{l} \frac{\partial u_1}{\partial \xi} \frac{w_m}{R} u_3 \right] = \frac{R^2 w_m}{l^2} \left[c^2 \frac{\partial^2 u_3}{\partial \xi^2} - 2\varepsilon c \frac{\partial^2 u_3}{\partial \xi \partial \tau} \right] +
\end{aligned} \quad (16)$$

$$+ \frac{w_m h_0}{R R} k_1 u_3 - \frac{Rl}{\varepsilon u_m \rho_0 h_0 c_0^2} q_n.$$

Зависимые переменные представим в виде асимптотического разложения

$$u_1 = u_{10} + \varepsilon u_{11} + \dots, \quad u_3 = u_{30} + \varepsilon u_{31} + \dots \quad (17)$$

Подставляя (17) в (16) и оставляя члены порядка ε получим систему уравнений

$$\frac{\partial}{\partial \xi} \left\langle \frac{\partial u_{10}}{\partial \xi} - \mu_0 \frac{w_m l}{u_m R} u_{30} \right\rangle = c^2 \frac{\partial^2 u_{10}}{\partial \xi^2}, \quad (18)$$

$$\mu_0 \frac{\partial u_{10}}{\partial \xi} - \frac{w_m l}{u_m R} u_{30} = 0.$$

Из этой системы получаем

$$\frac{w_m l}{u_m R} u_{30} = \mu_0 \frac{\partial u_{10}}{\partial \xi}, \quad c^2 = 1 - \mu_0^2, \quad (19)$$

Следовательно, u_{10} – остается произвольной функцией, а безразмерная скорость волны $c = (1 - \mu_0^2)^{\frac{1}{2}}$ и, следовательно, скорость волны равна $\sqrt{\frac{E}{\rho_0}}$ – скорости

волны в стержне. Здесь $\xi = \frac{1}{l} \left(x - \sqrt{\frac{E}{\rho_0}} t \right)$, так как оболочка имеет бесконечную длину.

В следующем приближении ε^2 получим систему уравнений

$$\frac{\partial}{\partial \xi} \left\langle \frac{\partial u_{11}}{\partial \xi} - \mu_0 \frac{w_m l}{u_m R} u_{31} + \frac{4}{3} \frac{m}{E \varepsilon} \left[\left(\frac{\partial u_{10}}{\partial \xi} \right)^3 + (1 - \mu_0^2) \frac{\partial u_{10}}{\partial \xi} \frac{w_m l}{u_m R} u_{30} \left(\frac{\partial u_{10}}{\partial \xi} + \frac{w_m l}{u_m R} u_{30} \right) \right] \right\rangle -$$

$$\left. -\mu_0 \left(\frac{w_m l}{u_m R} \right)^3 u_{30}^3 \right] = -2c \frac{\partial^2 u_{10}}{\partial \xi \partial \tau} + c^2 \frac{\partial^2 u_{11}}{\partial \xi^2} - \frac{\varepsilon_1}{\varepsilon} c \frac{\partial u_{10}}{\partial \xi} - \frac{l^2}{\varepsilon u_m \rho_0 h_0 c_0^2} q_x, \quad (20)$$

$$\begin{aligned} \mu_0 \frac{\partial u_{11}}{\partial \xi} - \frac{w_m l}{u_m R} u_{31} + \frac{4}{3} \frac{m}{E \varepsilon} \left(\frac{u_m}{l} \right)^2 \left(\mu_0 \frac{\partial u_{10}}{\partial \xi} - \frac{w_m l}{u_m R} u_{30} \right) \left[\left(\frac{\partial u_{10}}{\partial \xi} \right)^2 + \left(\frac{w_m l}{u_m R} \right)^2 u_{30}^2 + \right. \\ \left. + \frac{w_m l}{u_m R} \frac{\partial u_{10}}{\partial \xi} u_{30} \right] = \frac{1}{\varepsilon} \frac{R^2}{l^2} \frac{w_m l}{u_m R} c^2 \frac{\partial^2 u_{30}}{\partial \xi^2} + \\ + k_1 \frac{1}{\varepsilon} \frac{h_0}{R} \frac{w_m l}{u_m R} u_{30} - \frac{Rl}{\varepsilon u_m \rho_0 h_0 c_0^2} q_n, \end{aligned}$$

Подставим соотношение (19) в уравнения (20) и получим систему

$$\begin{aligned} \mu_0^2 \frac{\partial^2 u_{11}}{\partial \xi^2} - \mu_0 \frac{w_m l}{u_m R} \frac{\partial u_{31}}{\partial \xi} = -\frac{4}{3} \frac{m}{E \varepsilon} \left(\frac{u_m}{l} \right)^2 (1 - \mu_0^2) (1 + \mu_0 + \mu_0^2) \mathfrak{B} \left(\frac{\partial u_{10}}{\partial \xi} \right)^2 \frac{\partial^2 u_{10}}{\partial \xi^2} - \\ - 2\sqrt{1 - \mu_0^2} \frac{\partial^2 u_{10}}{\partial \xi \partial \tau} - \frac{\varepsilon_1}{\varepsilon} \sqrt{1 - \mu_0^2} \frac{\partial u_{10}}{\partial \xi} - \frac{l^2}{\varepsilon u_m \rho_0 h_0 c_0^2} q_x, \quad (21) \\ \mu_0 \frac{\partial u_{11}}{\partial \xi} - \frac{w_m l}{u_m R} u_{31} = \frac{1}{\varepsilon} \frac{R^2}{l^2} (1 - \mu_0^2) \mu_0 \frac{\partial^3 u_{10}}{\partial \xi^3} + \\ + k_1 \frac{1}{\varepsilon} \frac{h_0}{R} \mu_0 \frac{\partial u_{10}}{\partial \xi} - \frac{Rl}{\varepsilon u_m \rho_0 h_0 c_0^2} q_n. \end{aligned}$$

Умножим обе части второго уравнения на μ_0 и продифференцируем по ξ .

Оно примет вид

$$\begin{aligned} \mu_0^2 \frac{\partial^2 u_{11}}{\partial \xi^2} - \mu_0 \frac{w_m l}{u_m R} \frac{\partial u_{31}}{\partial \xi} = \frac{1}{\varepsilon} \frac{R^2}{l^2} \mu_0^2 (1 - \mu_0^2) \frac{\partial^4 u_{10}}{\partial \xi^4} + \\ + k_1 \frac{1}{\varepsilon} \frac{h_0}{R} \mu_0^2 \frac{\partial^2 u_{10}}{\partial \xi^2} - \mu_0 \frac{Rl}{\varepsilon u_m \rho_0 h_0 c_0^2} \frac{\partial q_n}{\partial \xi}. \quad (22) \end{aligned}$$

Левые части уравнения (21) и уравнения (22) совпали. Вычтем, почленно, из уравнения (22) первое уравнение системы (21) и получим разрешающее уравнение

$$\begin{aligned}
 & 2\sqrt{1-\mu_0^2} \frac{\partial^2 u_{10}}{\partial \xi \partial \tau} + 4 \frac{m}{E\varepsilon} \left(\frac{u_m}{l} \right)^2 (1-\mu_0^2) (1+\mu_0+\mu_0^2) \left(\frac{\partial u_{10}}{\partial \xi} \right)^2 \frac{\partial^2 u_{10}}{\partial \xi^2} + \\
 & + \frac{1}{\varepsilon} \frac{R^2}{l^2} \mu_0^2 (1-\mu_0^2) \frac{\partial^4 u_{10}}{\partial \xi^4} + k_1 \frac{1}{\varepsilon} \frac{h_0}{R} \mu_0^2 \frac{\partial^2 u_{10}}{\partial \xi^2} + \\
 & + \frac{\varepsilon_1}{\varepsilon} \sqrt{1-\mu_0^2} \frac{\partial u_{10}}{\partial \xi} = - \frac{l^2}{\varepsilon u_m \rho_0 h_0 c_0^2} \left[q_x - \mu_0 \frac{R}{l} \frac{\partial q_n}{\partial \xi} \right].
 \end{aligned} \tag{23}$$

Разделим обе части полученного уравнения (23) на $2\sqrt{1-\mu_0^2}$ и получим

$$\begin{aligned}
 & \frac{\partial^2 u_{10}}{\partial \xi \partial \tau} + 2 \frac{m}{E\varepsilon} \left(\frac{u_m}{l} \right)^2 \sqrt{1-\mu_0^2} (1+\mu_0+\mu_0^2) \left(\frac{\partial u_{10}}{\partial \xi} \right)^2 \frac{\partial^2 u_{10}}{\partial \xi^2} + \\
 & + \frac{1}{\varepsilon} \frac{R^2}{l^2} \mu_0^2 \sqrt{1-\mu_0^2} \frac{\partial^4 u_{10}}{\partial \xi^4} + k_1 \frac{1}{\varepsilon} \frac{h_0}{R} \frac{\mu_0^2}{2\sqrt{1-\mu_0^2}} \frac{\partial^2 u_{10}}{\partial \xi^2} + \\
 & + \frac{1}{2} \frac{\varepsilon_1}{\varepsilon} \frac{\partial u_{10}}{\partial \xi} = - \frac{1}{2\sqrt{1-\mu_0^2}} \frac{l^2}{\varepsilon u_m \rho_0 h_0 c_0^2} \left[q_x - \mu_0 \frac{R}{l} \frac{\partial q_n}{\partial \xi} \right].
 \end{aligned} \tag{24}$$

В случае отсутствия жидкости правая часть уравнения равна нулю и получается модифицированное уравнение Кортевега-де Вриза (МКдВ). Надо определить правую часть, решая уравнения гидродинамики.

Рассматривая круговое сечение, введем безразмерные переменные и параметры $V_r = w_m \frac{c_0}{l} v_r$, $V_x = w_m \frac{c_0}{R_1} v_x$, $r^* = \frac{r}{R_1}$, $t^* = \frac{c_0}{l} t$, $x^* = \frac{1}{l} x$, $p = \frac{\rho v c_0 l w_m}{R_1^3} P + p_0$,

$\frac{R_1}{l} = \psi = O\left(\varepsilon^{\frac{1}{2}}\right)$, $\lambda = \frac{w_m}{R_1} = O(\varepsilon)$. Подставляя их в уравнение (1) и граничное условие

(2) получаем уравнения и граничные условия для безразмерных компонент скорости жидкости и давления. Раскладывая давление и компоненты скорости по степеням малого параметра λ

$$P = P^0 + \lambda P^1 + \dots, v_x = v_x^0 + \lambda v_x^1 + \dots, v_r = v_r^0 + \lambda v_r^1 + \dots$$

для первых членов разложений получим уравнения

$$\frac{\partial P^0}{\partial r^*} = 0, \psi \frac{R_1 c_0}{\nu} \frac{\partial v_x^0}{\partial t^*} + \frac{\partial P^0}{\partial x^*} = \frac{1}{r^*} \frac{\partial}{\partial r^*} \left(r^* \frac{\partial v_x^0}{\partial r^*} \right), \frac{1}{r^*} \frac{\partial}{\partial r^*} (r^* v_r^0) + \frac{\partial v_x^0}{\partial x^*} = 0, \quad (25)$$

и граничные условия вида

$$v_r^0 = \frac{\partial u_3}{\partial t^*}, v_x^0 = \frac{u_m R_1}{w_m l} \frac{\partial u_1}{\partial t^*} \text{ при } r^* = 1, r^* \frac{\partial v_r^0}{\partial r^*} = 0, r^* \frac{\partial v_x^0}{\partial r^*} = 0 \text{ при } r^* = 0.$$

Определим теперь в этих переменных напряжения со стороны жидкости на оболочке. С точностью до λ , ψ имеем

$$q_x = -\lambda \frac{\nu}{R_1 c_0} \rho c_0^2 \frac{\partial v_x}{\partial r^*} \Big|_{r^*=1}, q_n = -p_0 - \frac{\lambda}{\psi} \frac{\nu}{R_1 c_0} \rho c_0^2 P. \quad (26)$$

Решение проведем методом итерации. На первом шаге итерации, учитывая что $\psi \frac{R_1 c_0}{\nu} \ll 1$ опустим первое слагаемое в правой части второго уравнения (25). На втором шаге итерации, подставляя полученное решение в первое слагаемое второго уравнения (25) находим, что

$$P = \frac{\partial}{\partial t^*} \int \left[16 \left(\frac{1}{2} \frac{u_m R_1}{w_m l} u_1 - \int u_3 dx^* \right) + \frac{2}{3} \psi \frac{R_1 c_0}{\nu} \frac{\partial}{\partial t^*} \left(\frac{1}{2} \frac{u_m R_1}{w_m l} u_1 - 4 \int u_3 dx^* \right) \right] dx^*,$$

$$\frac{\partial v_x}{\partial r^*} \Big|_{r^*=1} = \frac{\partial}{\partial t^*} \left[8 \left(\frac{1}{2} \frac{u_m R_1}{w_m l} u_1 - \int u_3 dx^* \right) + \frac{1}{3} \psi \frac{R_1 c_0}{\nu} \frac{\partial}{\partial t^*} \left(\frac{1}{2} \frac{u_m R_1}{w_m l} u_1 - \int u_3 dx^* \right) \right].$$

Учитывая, введенные переменные (15), найдем с точностью до ε и учетом связи $c = \sqrt{1 - \mu_0^2}$, что

$$P = \sqrt{1 - \mu_0^2} \left\{ 8 \left(2 \int u_{30} d\xi - \frac{u_m R_1}{w_m l} u_{10} \right) - \frac{1}{3} \psi \frac{R_1 c_0}{\nu} \left(8 u_{30} - \frac{u_m R_1}{w_m l} \frac{\partial u_{10}}{\partial \xi} \right) \sqrt{1 - \mu_0^2} \right\}.$$

При этом

$$\left. \frac{\partial v_x}{\partial r^*} \right|_{r^*=1} = \sqrt{1 - \mu_0^2} \left\{ 4 \left(2 u_{30} - \frac{u_m R_1}{w_m l} \frac{\partial u_{10}}{\partial \xi} \right) - \frac{1}{6} \psi \frac{R_1 c_0}{\nu} \left(2 \frac{\partial u_{30}}{\partial \xi} - \frac{u_m R_1}{w_m l} \frac{\partial^2 u_{10}}{\partial \xi^2} \right) \sqrt{1 - \mu_0^2} \right\}.$$

Тогда учитывая, что $\frac{u_m l}{w_m R} u_{30} = \mu_0 \frac{\partial u_{10}}{\partial \xi}$ получаем

$$q_x - \mu_0 \frac{R}{l} \frac{\partial q_n}{\partial \xi} = \frac{\nu}{R_1 c_0} \rho c_0^2 4 \sqrt{1 - \mu_0^2} \frac{u_m}{l} \left[1 - 2 \mu_0 \frac{R}{R_1} \right]^2 \frac{\partial u_{10}}{\partial \xi} - \frac{R_1}{l} \rho c_0^2 \frac{1}{6} (1 - \mu_0^2) \frac{u_m}{l} \left[\left(1 - 2 \mu_0 \frac{R}{R_1} \right)^2 + 3 \left(2 \mu_0 \frac{R}{R_1} \right)^2 \right] \frac{\partial^2 u_{10}}{\partial \xi^2}.$$

Следовательно, имеем уравнение

$$\begin{aligned} & \frac{\partial^2 u_{10}}{\partial \xi \partial \tau} + \frac{1}{\varepsilon} \frac{R^2}{l^2} \frac{\mu_0^2 \sqrt{1 - \mu_0^2}}{2} \frac{\partial^4 u_{10}}{\partial \xi^4} + \\ & + \frac{2m}{E\varepsilon} \sqrt{1 - \mu_0^2} (1 + \mu_0 + \mu_0^2) \left(\frac{u_m}{l} \right)^2 \left(\frac{\partial u_{10}}{\partial \xi} \right)^2 \frac{\partial^2 u_{10}}{\partial \xi^2} + \\ & + k_1 \frac{1}{\varepsilon} \frac{h_0}{R} \frac{\mu_0^2}{2\sqrt{1 - \mu_0^2}} \frac{\partial^2 u_{10}}{\partial \xi^2} + \frac{1}{2} \frac{\varepsilon_1}{\varepsilon} \frac{\partial u_{10}}{\partial \xi} = \end{aligned} \quad (27)$$

$$= -\frac{1}{2} \frac{l}{\varepsilon \rho_0 h_0} \left\{ \frac{\nu}{R_1 c_0} \rho^4 \left[1 - 2\mu_0 \frac{R}{R_1} \right]^2 \frac{\partial u_{10}}{\partial \xi} - \right. \\ \left. - \frac{R_1}{l} \rho \frac{1}{6} \sqrt{1 - \mu_0^2} \left[\left(1 - 2\mu_0 \frac{R}{R_1} \right)^2 + 3 \left(2\mu_0 \frac{R}{R_1} \right)^2 \right] \frac{\partial^2 u_{10}}{\partial \xi^2} \right\}.$$

Полученное уравнение есть модифицированное уравнение Кортевега – де Вриза (МКДВ) для $\frac{\partial u_{10}}{\partial \xi}$. С принятой точностью в (27) можно положить $R_1 = R$.

Введем обозначения $\frac{\partial u_{10}}{\partial \xi} = c_3 \varphi$, $\eta = c_1 \xi$, $t = c_2 \tau$ и получим уравнение МКДВ в виде

$$\frac{\partial \varphi}{\partial t} + (\sigma_2 - \sigma_5 + 6\sigma_1 \varphi^2) \frac{\partial \varphi}{\partial \eta} + \frac{\partial^3 \varphi}{\partial \eta^3} + (\sigma_4 + \sigma_0) \varphi = 0, \quad (28)$$

где $c_1 = \left[c_2 \left\{ \frac{1}{\varepsilon} \frac{R^2}{l^2} \frac{\mu_0^2 \sqrt{1 - \mu_0^2}}{2} \right\}^{-1} \right]^{\frac{1}{3}}$, $c_2 = 2 \frac{\rho l}{\varepsilon \rho_0 h_0} \frac{\nu}{R_1 c_0}$,

$$c_3 = \left\{ 6 \frac{c_2}{c_1} \left[\frac{2m}{E\varepsilon} \sqrt{1 - \mu_0^2} (1 + \mu_0 + \mu_0^2) \left(\frac{u_m}{l} \right)^2 \right]^{-1} \right\}^{\frac{1}{2}},$$

и введено $\sigma_0 = (1 - 2\mu_0)^2$, $6\sigma_1 = \frac{c_3^2 c_1}{c_2} \frac{2m}{E\varepsilon} \sqrt{1 - \mu_0^2} (1 + \mu_0 + \mu_0^2) \left(\frac{u_m}{l} \right)^2$. При указанном

ранее c_3 можно положить $\sigma_1 = 1$, $\sigma_2 = \frac{c_1}{c_2} \frac{\mu_0^2}{\sqrt{1 - \mu_0^2}} \frac{k_1}{2} \frac{1}{\varepsilon} \frac{h_0}{R}$, $\sigma_4 = \frac{1}{2c_2} \frac{\varepsilon_1}{\varepsilon}$,

$$\sigma_5 = \frac{1}{12} \sqrt{1 - \mu_0^2} \frac{\rho l}{2\rho_0 h_0 c_0^2} \frac{R_1}{l} \frac{c_1}{c_2} \left[\left(1 - 2\mu_0 \frac{R}{R_1} \right)^2 + 3 \left(2\mu_0 \frac{R}{R_1} \right)^2 \right].$$

При условии $(\sigma_4 + \sigma_0) = 0$, то есть при отсутствии продольного конструкционного демпфирования ($\sigma_4 = 0$) и $\mu_0 = \frac{1}{2}$ – несжимаемый материал ($\sigma_0 = 0$) уравнение МКдВ принимает вид

$$\frac{\partial \varphi}{\partial t} + 6\varphi^2 \frac{\partial \varphi}{\partial \eta} + \frac{\partial^3 \varphi}{\partial \eta^3} + (\sigma_2 - \sigma_5) \frac{\partial \varphi}{\partial \eta} = 0, \quad (29)$$

и имеет точное решение в виде солитона

$$\varphi = \pm \frac{k}{ch(k[\eta - (k^2 + \sigma_2 - \sigma_5)t])}. \quad (30)$$

Волновое число k – произвольная величина, $l = \lambda = 1/k$ – длина волны. Фазовая скорость $\omega/k = k^2 + \sigma_2 - \sigma_5$ положительная при $\sigma_5 < \sigma_2 + k^2$ и отрицательная при $\sigma_5 > \sigma_2 + k^2$. Скорость волны $\sqrt{\frac{E}{\rho_0}} \left(1 + 3\varepsilon \frac{k^2 + \sigma_2 - \sigma_5}{(1 - \mu_0^2)(1 + \mu_0 + \mu_0^2)} \right)$ сверхзвуковая при $\sigma_5 < \sigma_2 + k^2$ и дозвуковая при $\sigma_5 > \sigma_2 + k^2$. Следовательно, инерция движения жидкости (σ_5) оказывает влияние на скорость движения волны.

Конструкционное демпфирование в продольном направлении σ_4 и влияние жидкости σ_0 оказывает влияние на амплитуду волны. Это влияние исследуется с помощью численного решения уравнения МКдВ при $\sigma_4 + \sigma_0 \neq 0$.

Для численного исследования полученного уравнения (28), описывающего нелинейные волновые движения в физически нелинейной оболочке с конструкционным демпфированием, заполненной вязкой жидкостью и окруженной

упругой средой Винклера будем использовать представленную ниже разностную схему, аналогичную схеме Кранка-Николсона для уравнения теплопроводности [15]:

$$\begin{aligned} & \frac{u_j^{n+1} - u_j^n}{\tau} + (\sigma_2 - \sigma_5) \frac{(u_{j+1}^{n+1} - u_{j-1}^{n+1}) + (u_{j+1}^n - u_{j-1}^n)}{4h} + \\ & + 2 \frac{(u_{j+1}^{3n+1} - u_{j-1}^{3n+1}) + (u_{j+1}^{3n} - u_{j-1}^{3n})}{4h} + \\ & + \frac{(u_{j+2}^{n+1} - 2u_{j+1}^{n+1} + 2u_{j-1}^{n+1} - u_{j-2}^{n+1}) + (u_{j+2}^n - 2u_{j+1}^n + 2u_{j-1}^n - u_{j-2}^n)}{4h^3} + \\ & + (\sigma_4 + \sigma_0) \frac{u_j^{n+1} + u_j^n}{2} = 0. \end{aligned}$$

Далее приведены результаты численного решения МКдВ для различных случаев. При расчетах начальное условие задавалось в виде точного решения (30) при $t = 0$.

При отсутствии влияния окружающей среды, конструкционного демпфирования в продольном направлении и без учета влияния жидкости, скорость и амплитуда волны не меняется (см. рис. 1). Это означает что скорость движения сверхзвуковая.

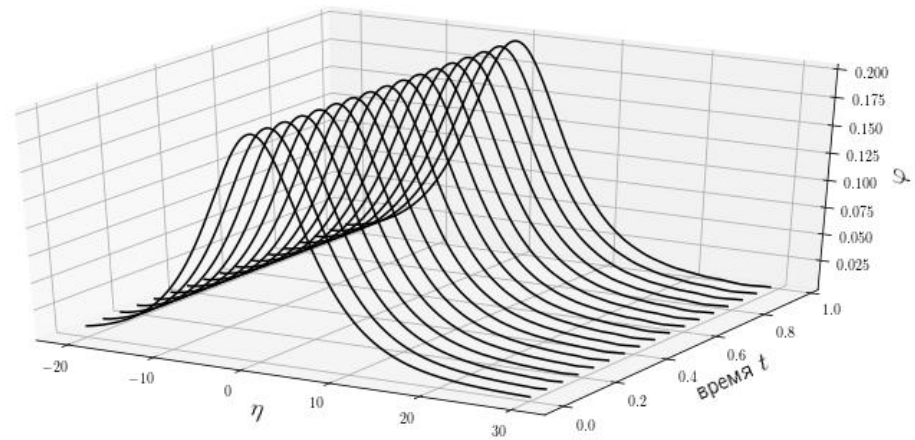


Рис. 1. Отсутствие влияния окружающей среды ($\sigma_2 = 0$), конструкционного демпфирования в продольном ($\sigma_4 = 0$) и жидкости ($\sigma_5 = \sigma_0 = 0$)

При $\sigma_2 - \sigma_5 < 0$; $\sigma_4 + \sigma_0 = 0$ фазовая скорость уменьшается. Амплитуда волны не меняется (см. рис. 2).

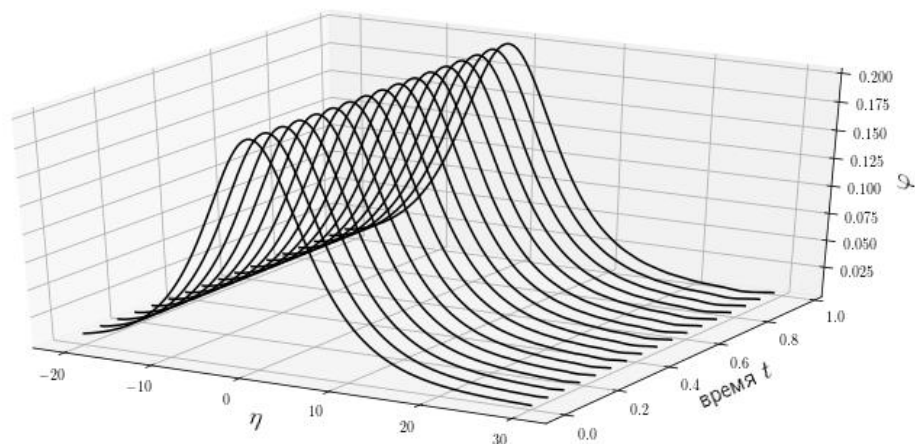


Рис. 2. Случай $\sigma_2 - \sigma_5 < 0$ и $\sigma_4 + \sigma_0 = 0$

При $\sigma_2 - \sigma_5 > 0$; $\sigma_4 + \sigma_0 = 0$ фазовая скорость увеличивается. Амплитуда волны не меняется (см. рис. 3).

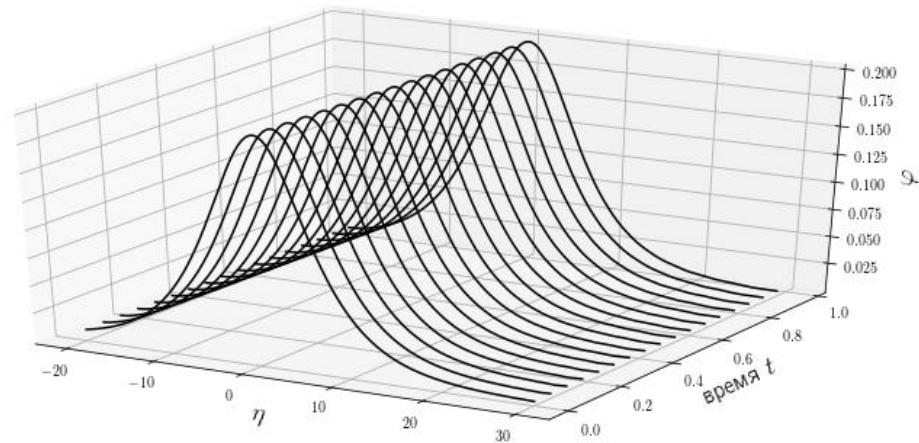


Рис. 3. Случай $\sigma_2 - \sigma_5 > 0$ и $\sigma_4 + \sigma_0 = 0$.

При $\sigma_2 - \sigma_5 < 0$; $\sigma_4 + \sigma_0 \neq 0$ фазовая скорость уменьшается. Амплитуда волны падает (см. рис. 4).

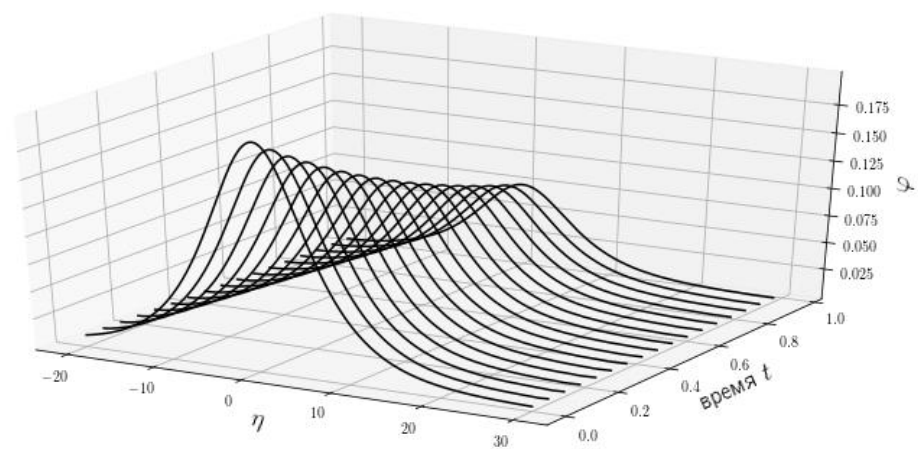


Рис. 4. Случай $\sigma_2 - \sigma_5 < 0$; $\sigma_4 + \sigma_0 \neq 0$

Заключение

При учете влияния конструкционного демпфирования в продольном направлении и окружающей упругой среды, амплитуда волны падает, а скорость движения увеличивается. Наличие жидкости внутри оболочки приводит к еще большему падению амплитуды волны, а также уменьшению скорости распространения волны вплоть до дозвуковой из-за учета инерции движения жидкости.

*Работа выполнена при поддержке РФФИ проект № 19-01-00014а
и проект № 18-01-00127а.*

Библиографический список

1. Землянухин А.И., Могилевич Л.И. Нелинейные волны деформаций в цилиндрических оболочках // Известия вузов. Прикладная нелинейная динамика. 1995. Т. 3. № 1. С. 52 - 58.
2. Ерофеев В.И., Ключева Н.В. Солитоны и нелинейные периодические волны деформации в стержнях, пластинах и оболочках (обзор) // Акустический журнал. 2002. Т. 48. № 6. С. 725 - 740.
3. Erofeev V.I., Kazhaev V.V., Pavlov I.S. Inelastic interaction and splitting of strain solitons propagating in a rod // Journal of Sound and Vibration, 2018, vol. 419, pp. 173 - 182.

4. Аршинов Г.А., Землянухин А.И., Могилевич Л.И. Двумерные уединенные волны в нелинейной вязкоупругой деформируемой среде // Акустический журнал. 2000. Т. 46. № 1. С. 116 - 117.
5. Бочкарев С.А. Собственные колебания вращающейся круговой цилиндрической оболочки с жидкостью // Вычислительная механика сплошных сред. 2010. Т. 3. № 2. С. 24 - 33.
6. Лекомцев С.В. Конечно-элементные алгоритмы расчета собственных колебаний трехмерных оболочек // Вычислительная механика сплошных сред. 2012. Т. 5. № 2. С. 233 - 243.
7. Бочкарев С.А., Матвеев В.П. Устойчивость коаксиальных цилиндрических оболочек, содержащих вращающийся поток жидкости // Вычислительная механика сплошных сред. 2013. Т. 6. № 1. С. 94 - 102.
8. Горшков А.Г., Морозов В.И., Пономарев А.Т., Шклярчук Ф.Н. Аэрогидроупругость конструкций. - М.: Физматлит, 2000. -591 с.
9. Вольмир А.С. Оболочки в потоке жидкости и газа: задачи гидроупругости. - М.: Наука, 1979. - 320 с.
10. Добрянский В.Н., Рабинский Л.Н., Радченко В.П., Соляев Ю.О. Оценка ширины зоны контакта между плоскоовальными каналами охлаждения и корпусом приёмно-передающего модуля активной фазированной антенной решётки // Труды МАИ. 2018. № 101. URL: <http://trudymai.ru/published.php?ID=98252>

11. Кондратов Д.В., Калинина А.В. Исследование процессов гидроупругости ребристой трубы кольцевого профиля при воздействии вибрации // Труды МАИ. 2014. № 78. URL: <http://trudymai.ru/published.php?ID=53453>
12. Могилевич Л.И., Попова А.А., Попов В.С. Динамика взаимодействия упругой цилиндрической оболочки с ламинарным потоком жидкости внутри нее применительно к трубопроводному транспорту // Наука и техника транспорта. 2007. № 2. С. 64 - 72.
13. Агеев Р.В., Могилевич Л.И., Попов В.С., Попова А.А. Движение вязкой жидкости в плоском канале, образованном вибрирующим штампом и шарнирно опертой пластиной // Труды МАИ. 2014. № 78. URL: <http://trudymai.ru/published.php?ID=53466>
14. Самарский А.А. Михайлов А.П. Математическое моделирование: Идеи. Методы. Примеры. - М.: Физматлит, 2001. - 320 с.
15. Gerdt V.P., Blinkov Yu.A., Mozzhilkin V.V. Gröbner Bases and Generation of Difference Schemes for Partial Differential Equations // Symmetry, Integrability and Geometry: Methods and Applications, 2006, vol. 2, pp. 26. URL: <http://www.emis.de/journals/SIGMA/2006/Paper051/index.html>.
16. Лойцянский Л.Г. Механика жидкости и газа. - М.: Дрофа, 2003. - 840 с.
17. Ильюшин А.А. Механика сплошной среды. - М.: Изд-во МГУ, 1990. - 310 с.
18. Овчаров А.А., Брылев И.С. Математическая модель деформирования нелинейно упругих подкрепленных конических оболочек при динамическом

нагружении // Современные проблемы науки и образования. 2014. №3. URL:
<http://science-education.ru/ru/article/view?id=13235>.

19. Каудерер Г. Нелинейная механика. - М.: Изд-во иностранной литературы, 1961. - 778 с.
20. Фельдштейн В.А. Упругопластические деформации цилиндрической оболочки при продольном ударе // Волны в неупругих средах. Сборник статей. - Кишинев: Изд-во АН МолССР, 1970. С. 199 - 204.
21. Вольмир А.С. Нелинейная динамика пластинок и оболочек.- М.: Изд-во Юрайт, 2018. - 439 с.